SGEPSS・天文学会・物理学会合同セッション:

「室内実験・惑星・天体プラズマの普遍性と多様性」







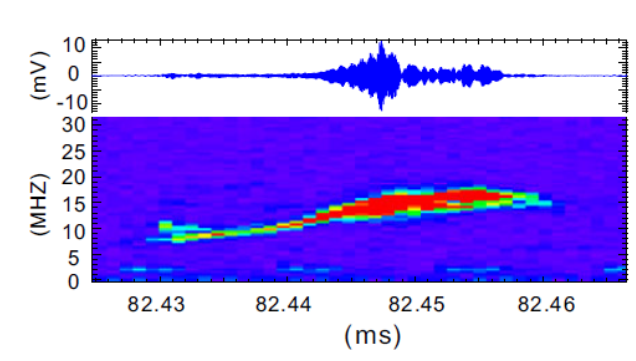
ダイポール磁場中の電子・陽電子プラズマ 生成計画と磁気圏現象の実験研究

東京大学新領域創成科学研究科(RT実験グループ) 齋藤晴彦

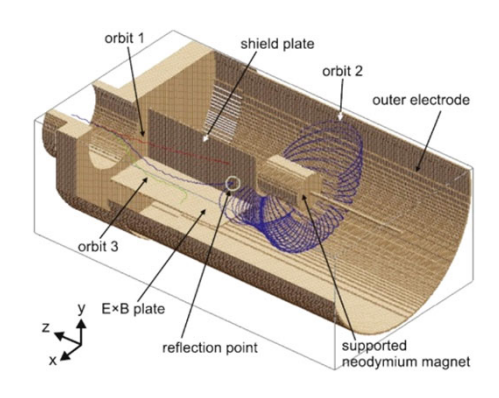
- 1. 研究背景: 「人工磁気圏」(磁気浮上ダイポール磁場装置)によるプラズマ実験
- 2. パルス陽電子源を活用した電子・陽電子ペアプラズマの生成と物性解明の計画
- 3. 内向き輸送と関わる低周波揺動と、周波数変調を伴うホイッスラー波の自発励起
- 4. まとめと今後の課題



超伝導ダイポール実験装置



波動現象の実験室研究



反物質プラズマの物性解明

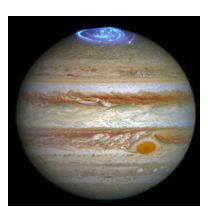
2006 Yoshida+ Plasma Fusion Res.; 2016 Yoshida+ Adv. Phys.; 2019 Nishiura+ Nucl. Fusion; 2022 Kenmochi+ Nucl. Fusion 2018 Stenson+ PRL, 2018 Horn-Stanja+ PRL, 2020 Stoneking+ J. Plasma Phys.

1. 「人工磁気圏」による実験室プラズマ研究

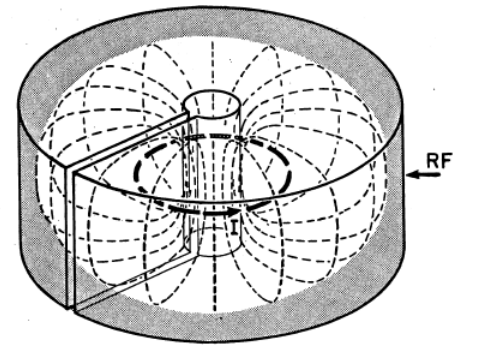
磁気浮上ダイポール: 先進核融合に適した高βプラズマ実現が本来の目的

1987 Hasegawa, Comm Plasma Phys. Contr. Fusion

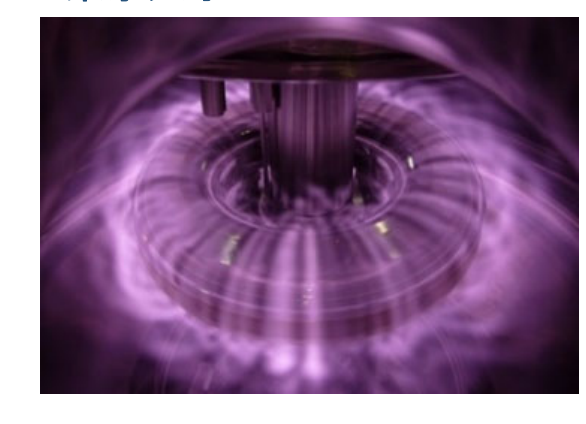
"Dipole Fusion" inspired by plasma in Jovian magnetosphere



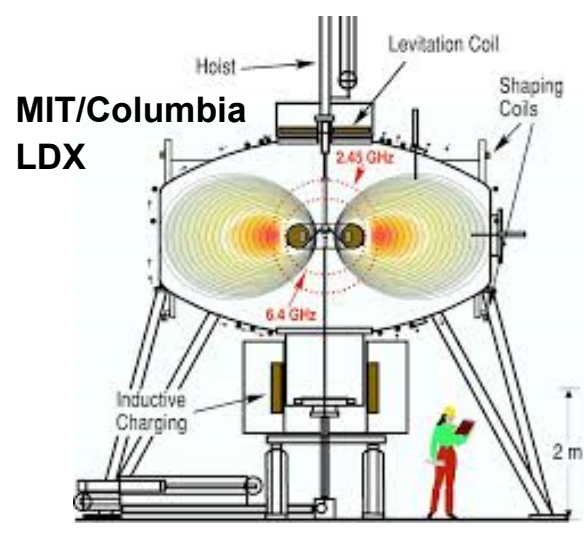
大域的に磁気圏と同様の磁場



東京大学 RT-1



磁気浮上コイルによる人工磁気圏



2006 Yoshida+ Plasma Fusion Res. 2010 Boxer+ Nature Phys.

高温超伝導技術応用

D-T ⇒ D-D, D-3He等の先進核融合



・核融合/ジオスペース現象 波動粒子相互作用,緩和現象 0.2 0.1 (E) 0.0 3.8×10¹⁸ 0.8 0.2 0.6 r(m)

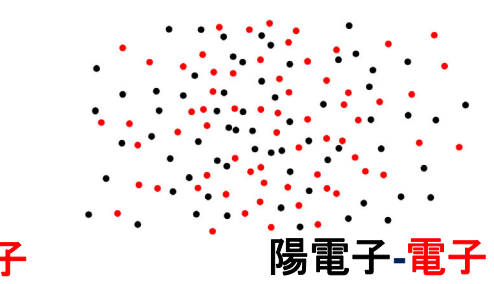
・非中性プラズマ・反物質 荷電粒子トラップ応用 time (s'

2022 Kenmochi, Nishiura+ Nuclear Fusion

2010 Yoshida+ Phys. Rev. Lett.

2. 磁場閉じ込めによる電子・陽電子ペアプラズマ生成計画

- 電子と陽電子の等質量のプラズマ
 - •ペアプラズマ,天体現象との関連
 - 大量の低速陽電子: ポジトロニウムのBEC, ガンマ線レーザ, 反水素実験等



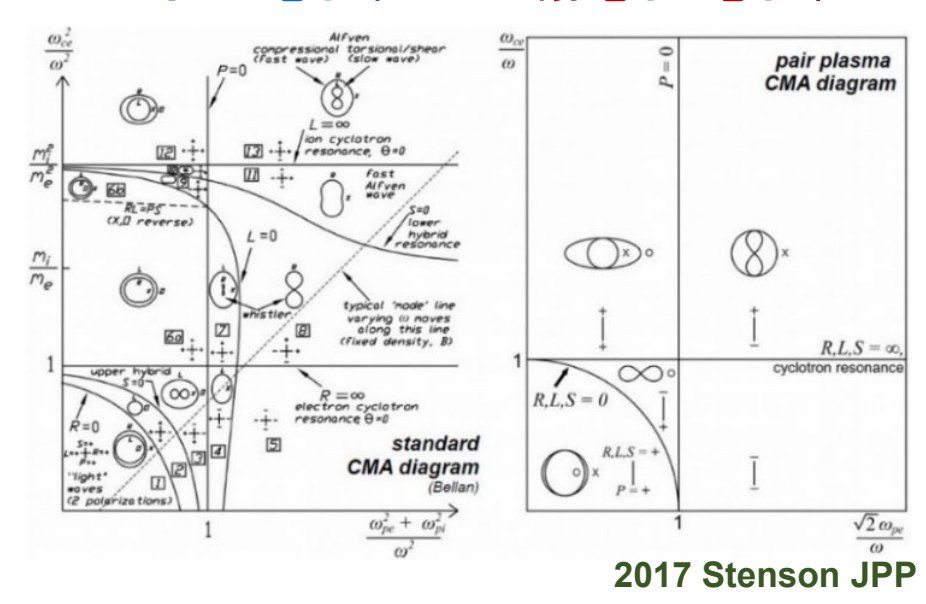
2020 Stoneking+ JPP 1978 Tsytovich+ CPPCF

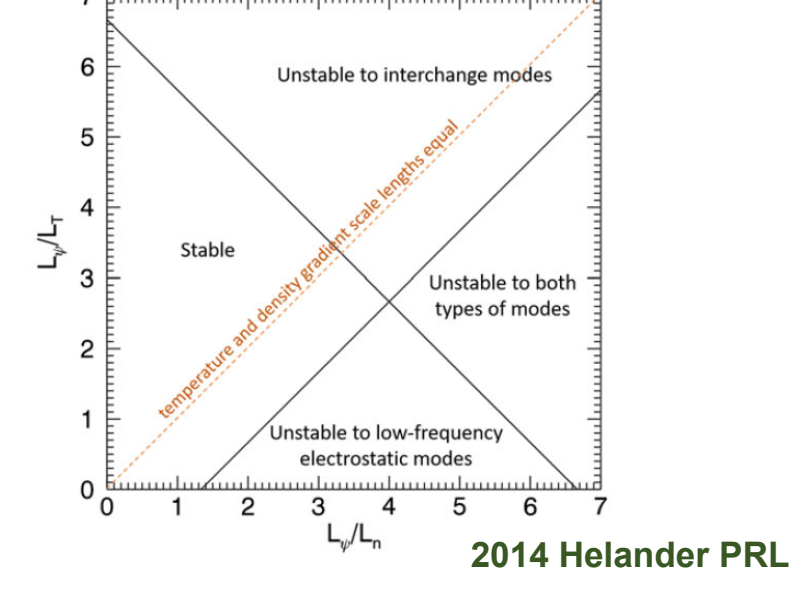
多くの理論・数値計算による研究に対し、実験研究例は少ない

➡ 低エネルギー陽電子の磁場閉じ込めによるペアプラズマ実現を計画

イオン・電子系

陽電子•電子系





縮退した分散関係(波動特性)

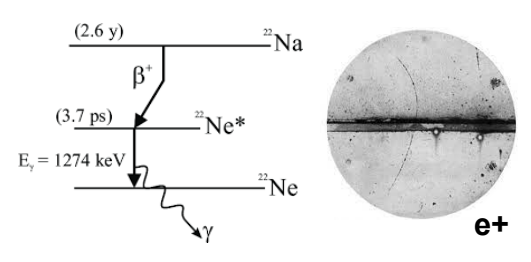
運動論による強靭な安定性の予言

電子・陽電子ペアプラズマ生成の困難さと解決方法

- プラズマ条件を満たすには
 - 109以上という大量の陽電子を集積し、更に
 - 同数の電子と同時捕獲することが挑戦的、実験的に未踏の領域

• 反物質科学

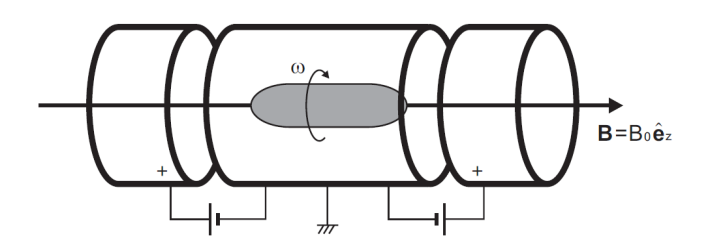




放射線源による低速陽電子 ビーム強度は10⁶ e+/s台が限度

大強度陽電子源と入射/捕獲技術が必要

プラズマ物理(非中性プラズマ)



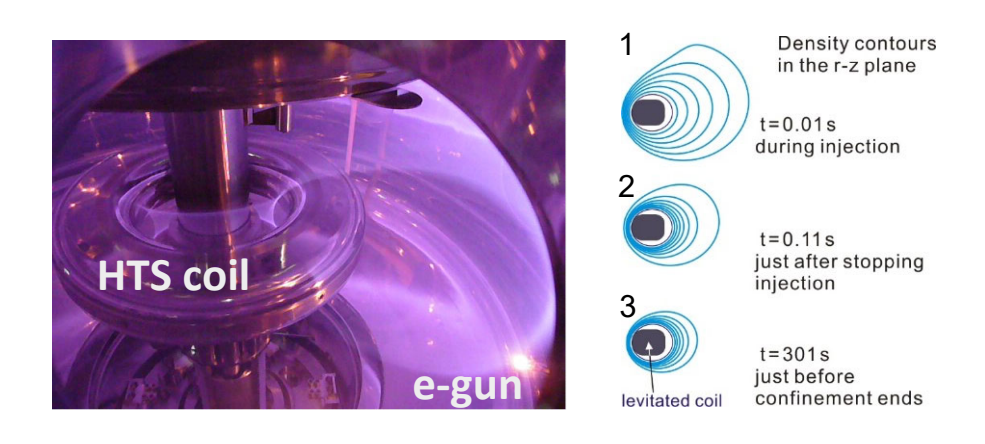
標準的トラップ(直線型:電場使用)では捕獲不可能

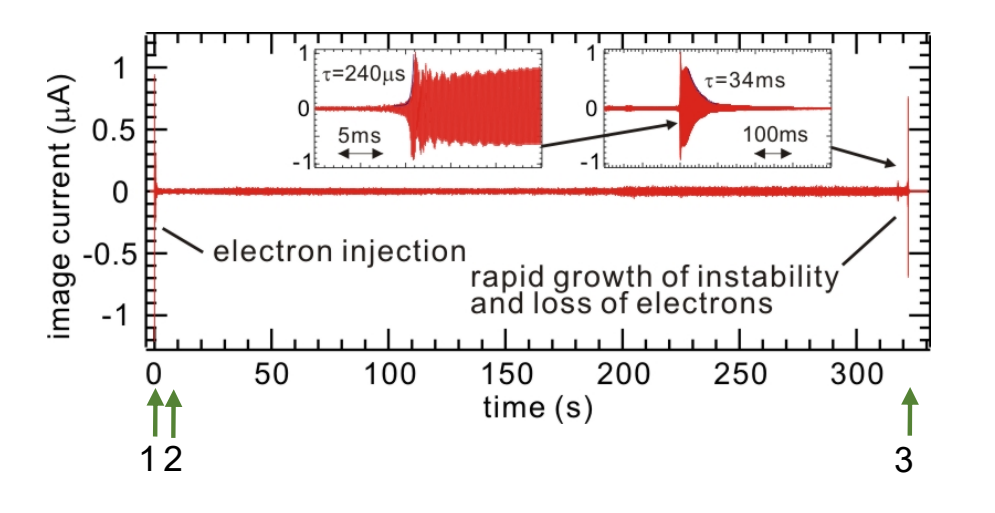
ペアプラズマ閉じ込め原理が未開拓

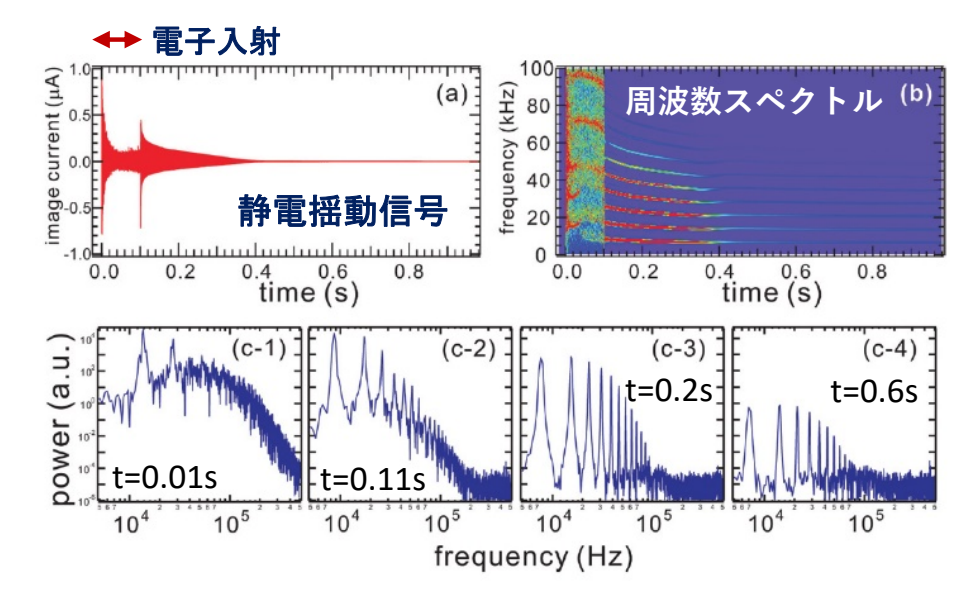
- 近年のこの分野における進展
- 1. 人工磁気圏による任意非中性度のプラズマ閉じ込め(核融合科学の応用) 1987 Hasegawa Comm. Plasma Phys. Cnt. Fusion, 2004 Saitoh+ Phys. Rev. Lett., 2010 Yoshida, Saitoh+ Phys. Rev. Lett.
- 2. 陽電子の粒子線技術と蓄積法の進展, 人工磁気圏への入射と閉じ込め実証 2015 Saitoh+ New J. Phys., 2018 Stenson+ Phys. Rev. Lett., 2018 Horn-Stanja+ Phys. Rev. Lett.
- → 人工磁気圏と大強度陽電子源により、電子・陽電子プラズマが実現可能

トロイダル系での非中性(純電子)プラズマの安定生成

• 人工磁気圏: 端部を持たない(電場を使用しない)荷電粒子閉じ込めが可能







乱流揺動が選択的に減衰し、永続するゆらぎを示す強靭な構造が 出現する. 閉じ込め限度は真空度が規定(RT-1では300秒以上).

2004 Saitoh+ Phys. Rev. Lett. 2010 Saitoh+ Phys. Plasmas

ダイポール磁場中では、強磁場領域への凝集はエントロピー増大を伴う「拡散」過程.

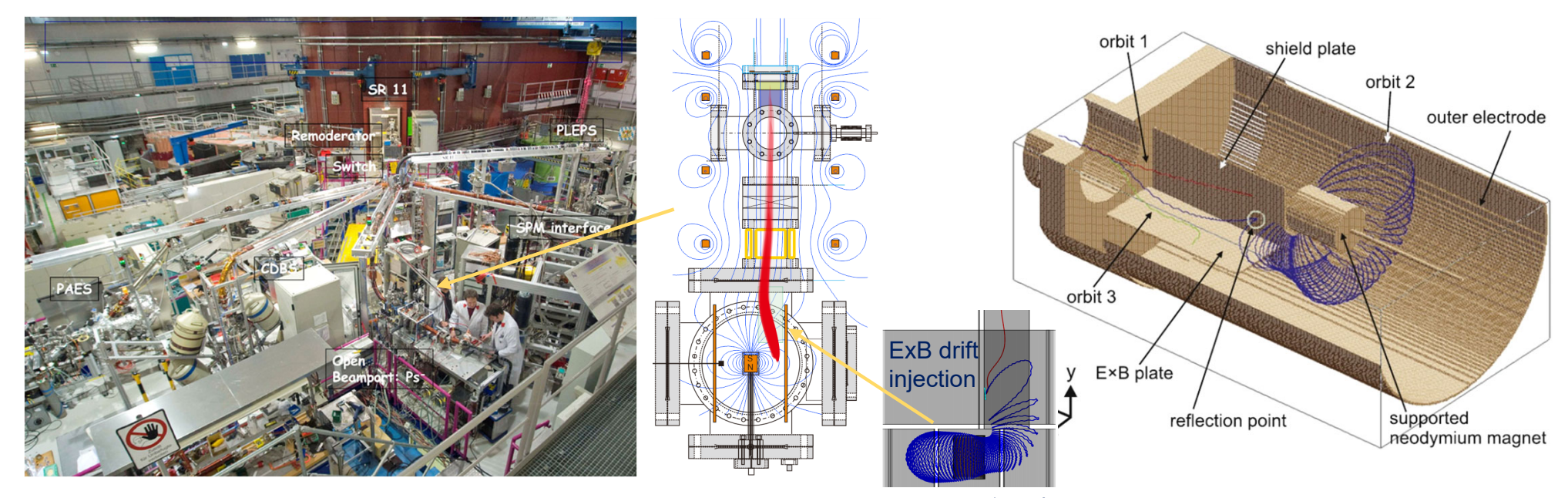
2018 Sato&Yoshida Phys. Rev. E

- ・純電子プラズマの渦構造が安定に維持される(>300s)
- 原理的に純磁場閉じ込めは陽電子閉じ込めにも適用可能
- ➡ 陽電子と電子の同時閉じ込めによる反物質ペアプラズマ生成に活用

NEPOMUC 陽電子源@ミュンヘンエ科大学における入射実験

ダイポール磁場中への陽電子ビームの高効率入射と閉じ込めの検証

原子炉(中性子源)による陽電子源: 放射線源より約2桁の強度向上~109e+/s



ミュンヘン工科大学FRM-II原子炉(20MW)のNEPOMUCビームラインと、構築した永久磁石によるダイポール磁場実験のプロトタイプ.

ダイポール磁場中へのドリフト入射による陽電子 導入の数値計算による最適化と入射を実証.

2015 Saitoh+ New J. Phys.

反物質プラズマ生成の鍵となる, 高効率のドリフト入射(効率100%)と長時間 閉じ込め(1秒以上, 真空度が規定)を, 陽電子ビームで検証

2018 Stenson+ Phys. Rev. Lett.; 2018 Horn-Stanja+ Phys. Rev. Lett.

電子・陽電子プラズマに向けて必要なmile stones達成

目標とする電子・陽電子ペアプラズマのパラメータと実現方法



パルス陽電子源

10⁷ e+/s, 10eV

リニアックベース パルス陽電子ビーム

1010-11 6+

 $>10^9 e+$ 10¹¹⁻¹² m⁻³

反物質ペア プラズマ生成

バッファガス+超伝導トラップ

陽電子の前段蓄積、 高速パルス引き出し

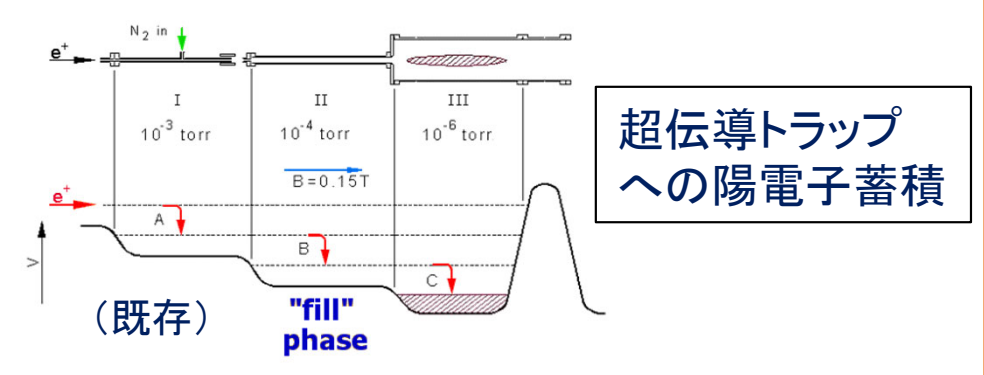
磁気浮上ダイポール

物性解明 蓄積装置 として利用

産総研・リニアックベース陽電子源 2020 Higaki Michichio+ Appl. Phys. Exp.

大量陽電子の蓄積と引き出し

入射期と閉じ込め期の分離を実現



非弾性衝突を活用した減速・捕獲効率の改善

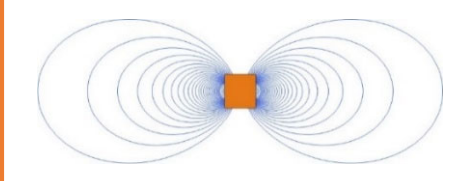
マックスプランク、UCSDグループとの連携研究

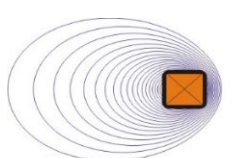
• 人工磁気圏での反物質プラズマ実現

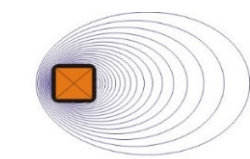
電子と陽電子をプラズマとして同時閉じ込め

ダイポール開発

高速・パルス入射







(永久磁石による)

プロトタイプダイポール超伝導磁気浮上ダイ ポール「人工磁気圏」

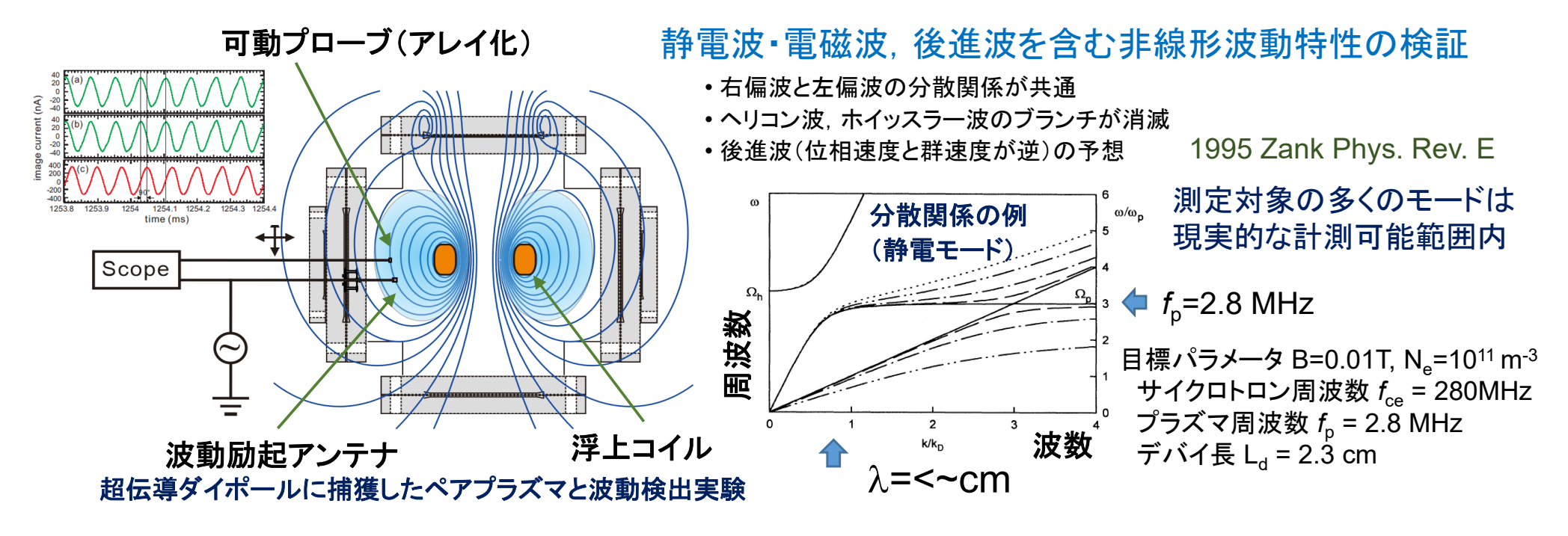
閉じた磁気面による純磁場閉じ込め

(ここまでは「プラズマを作る」方法について)

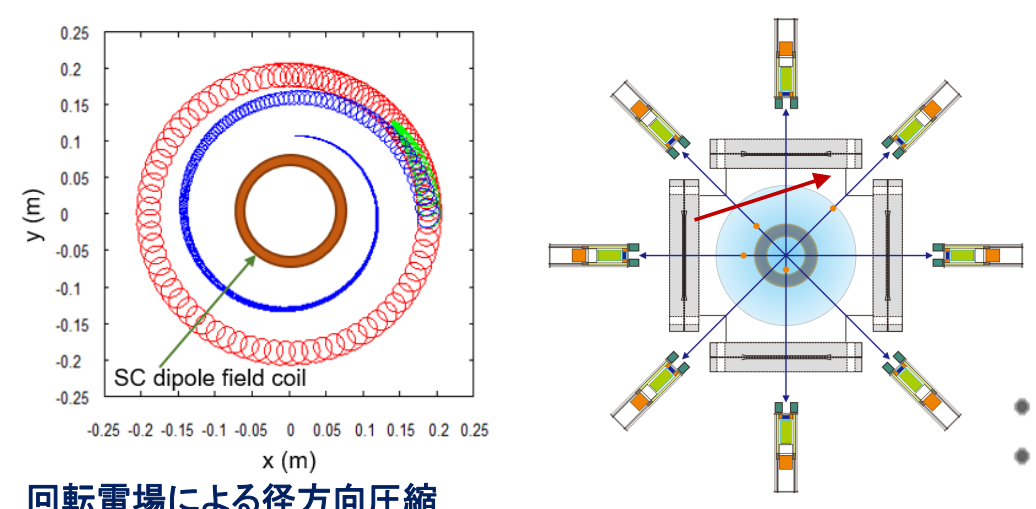
*2015 Danielson, Dubin, Greaves, Surko, Rev. Mod. Phys.

ペアプラズマとしての物性解明の今後の研究課題

●密度制御による集団現象発現と波動励起/揺動観測による分散関係解明



分割電極を用いた回転電場による径方向輸送と構造形成

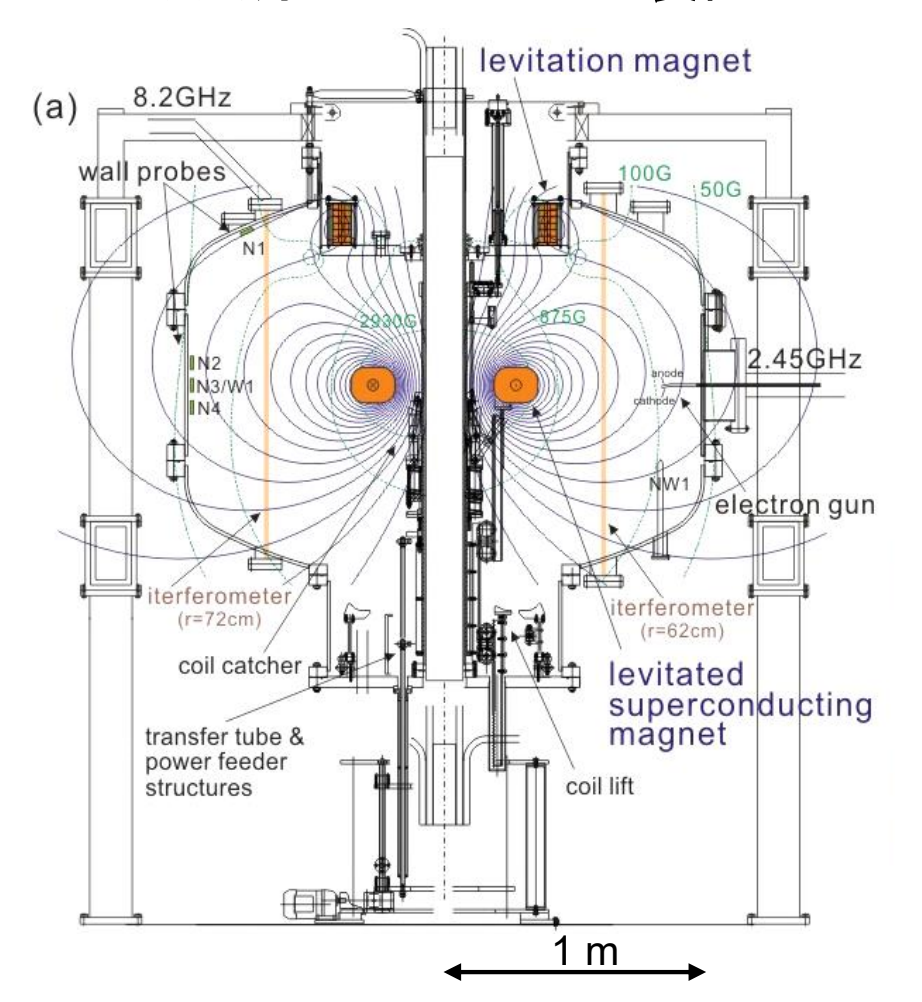


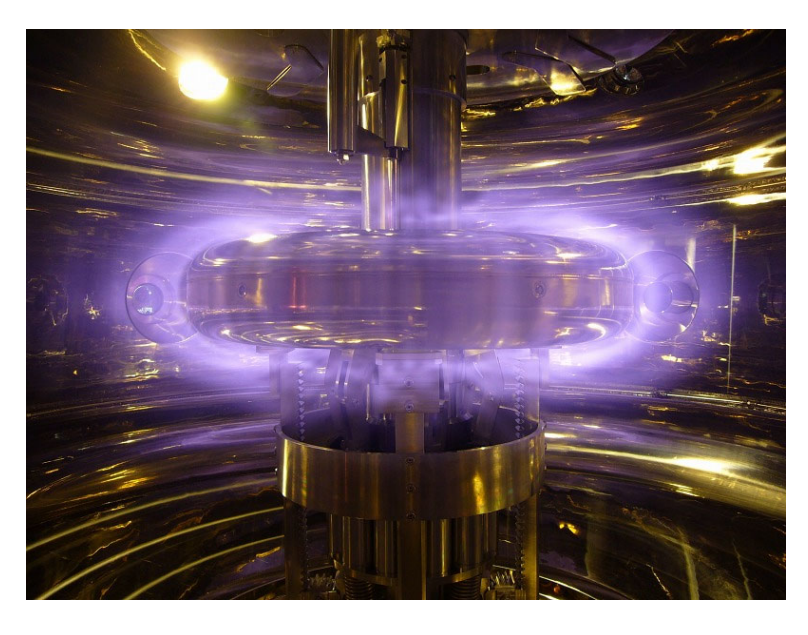
- 511keVガンマ線の計測による密度推定
- ・残存中性粒子との消滅ガンマ線の計測
- ペレットの入射・飛翔による位置推定
- •トモグラフィ手法による密度再構成
- イオン・電子系と異なる密度勾配限界を示すか? 不安定性の駆動は、密度勾配を決定する主機構か?

回転電場による径方向圧縮

3. 磁気圏型装置の高 β プラズマで観測される波動現象

RT-1磁気浮上ダイポール装置



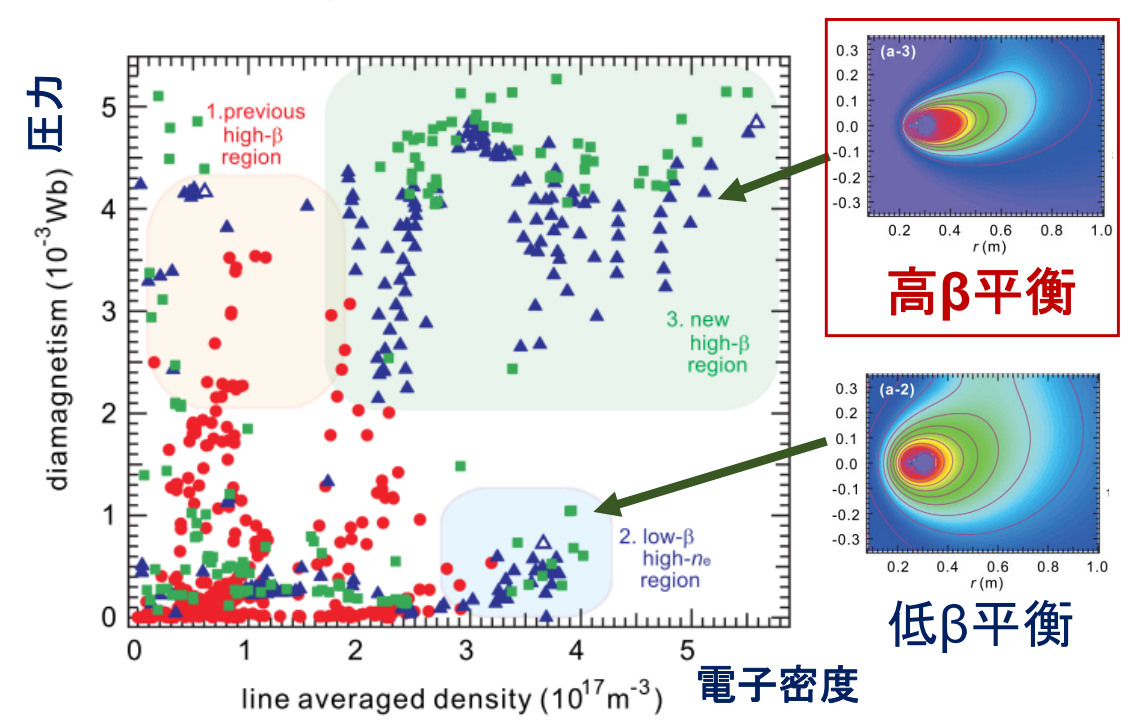


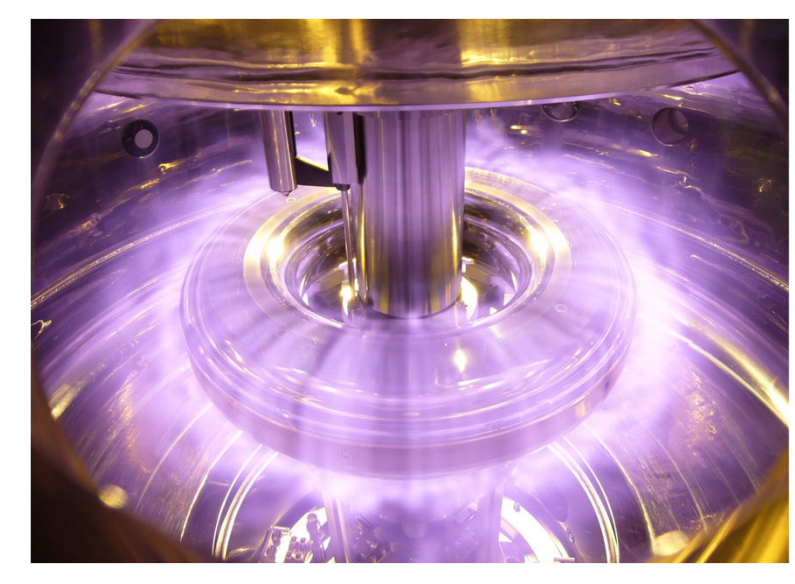
- 高温超伝導(Bi-2223)コイルをフィードバック 制御により磁気浮上,約6時間の無冷却運転
- 2.45GHz/8.2GHzマイクロ波によるECH. ICH
- 磁気計測,分光,トムソン散乱,X線計測, コヒーレンスイメジング等の各種計測
- ・主に電子が圧力を担う高βプラズマ(局所β100%)が生成される
- 先進核融合を可能にする/磁気圏現象と共通するダイポールプラズマの 閉じ込め、波動粒子相互作用、プラズマの自己組織化が研究対象

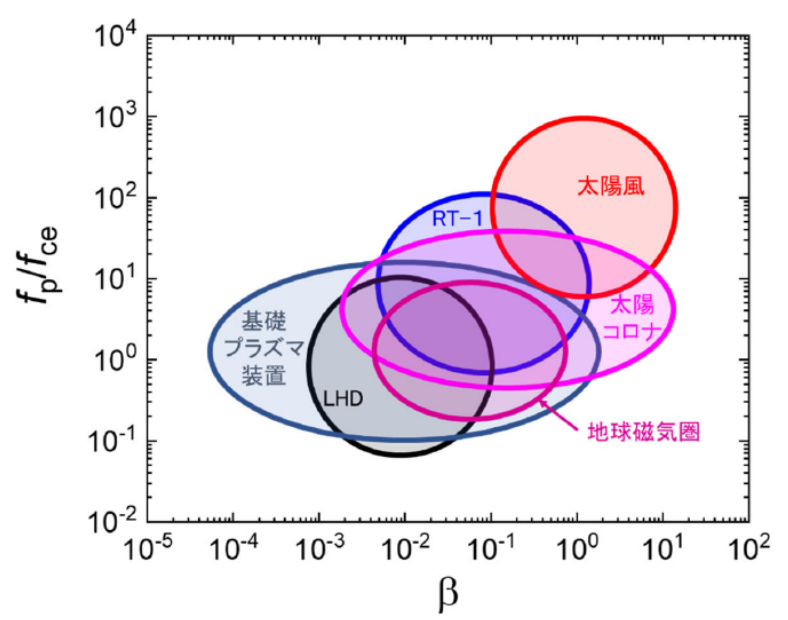
2006 Yoshida+ PFR; 2016 Yoshida+ Adv. Phys.; 2019 Nishiura+ NF; 2022 Kenmochi+ NF

RT-1の運転領域拡大とパラメータ領域と宇宙プラズマとの比較

2015 Nishiura+ NF, 2017 Nishiura+ NF







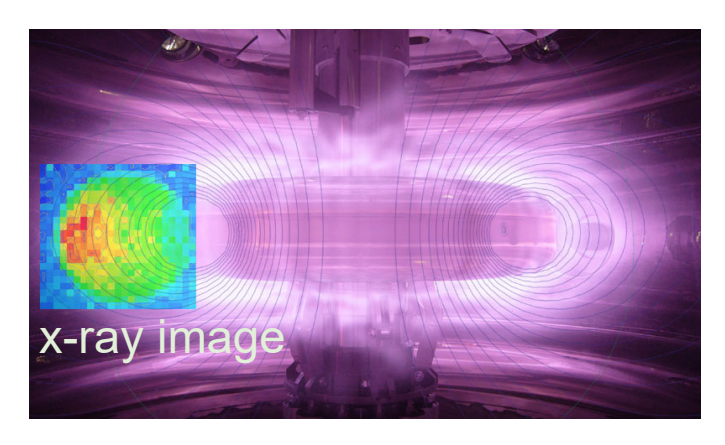
2021 加藤+永岡 プラ核学会誌

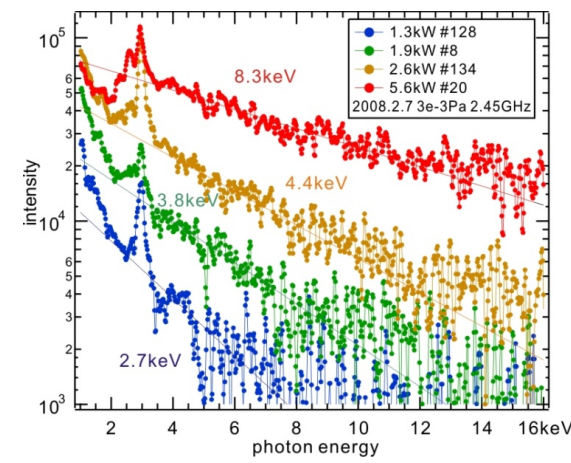
- 運転条件最適化により高β達成(~秒)
 - Local beta $\sim 100\%$, Ne $\sim 10^{17}$ m⁻³
 - 1秒以上持続(加熱の制限による)
 - 高温電子(>~keV) 高ベータプラズマ
- スペースのプラズマとの比較 high Ne, high B, but several similarities

高温電子が圧力を担うRT-1の高 β プラズマ

2015 Kawazura+ PoP.

• 電子サイクロトロン共鳴加熱と内向き輸送 ->温度非等方性を持つプラズマ





X-ray emission from hot electrons of plasmas

Temperature anisotropy (perp>para) by ECH as well as by inward transport

> 2014 Furukawa PoP 2021 相原 修士論文

→ 速度空間の分布はプラズマの波動励起を引き起こす 核融合プラズマ、スペースのプラズマに共通の波動粒子相互作用

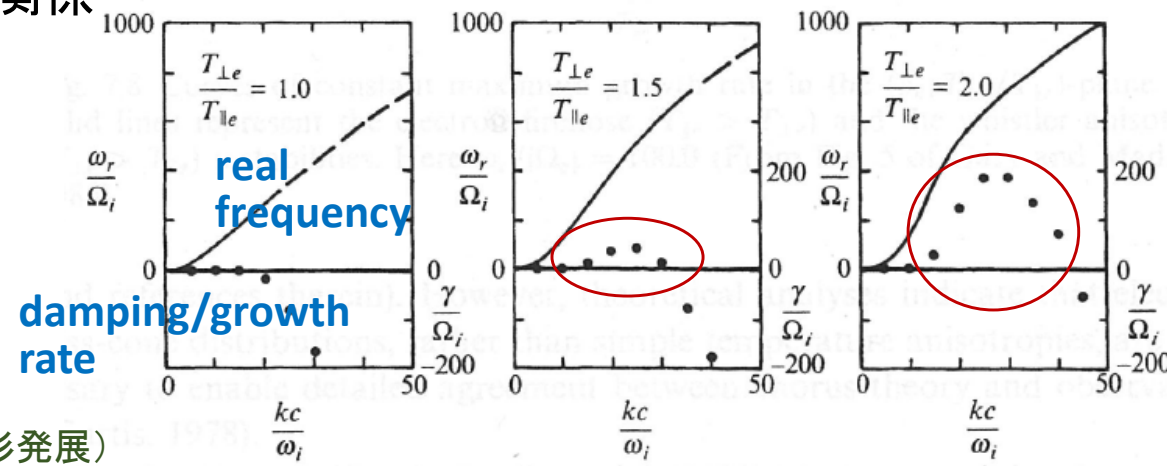
電子温度非等方性(Tperp>Tpara)によるホイッスラーの不安定化,輸送 1966 Kennel Petschek

温度非等方性がある時のR波の分散関係

$$\omega_r \simeq k^2 c^2 \frac{\Omega_p}{\omega_p^2} \left[1 + \left(\frac{T_{\perp e}}{T_{\parallel e}} - 1 \right) \frac{\beta_e}{2} \right]$$

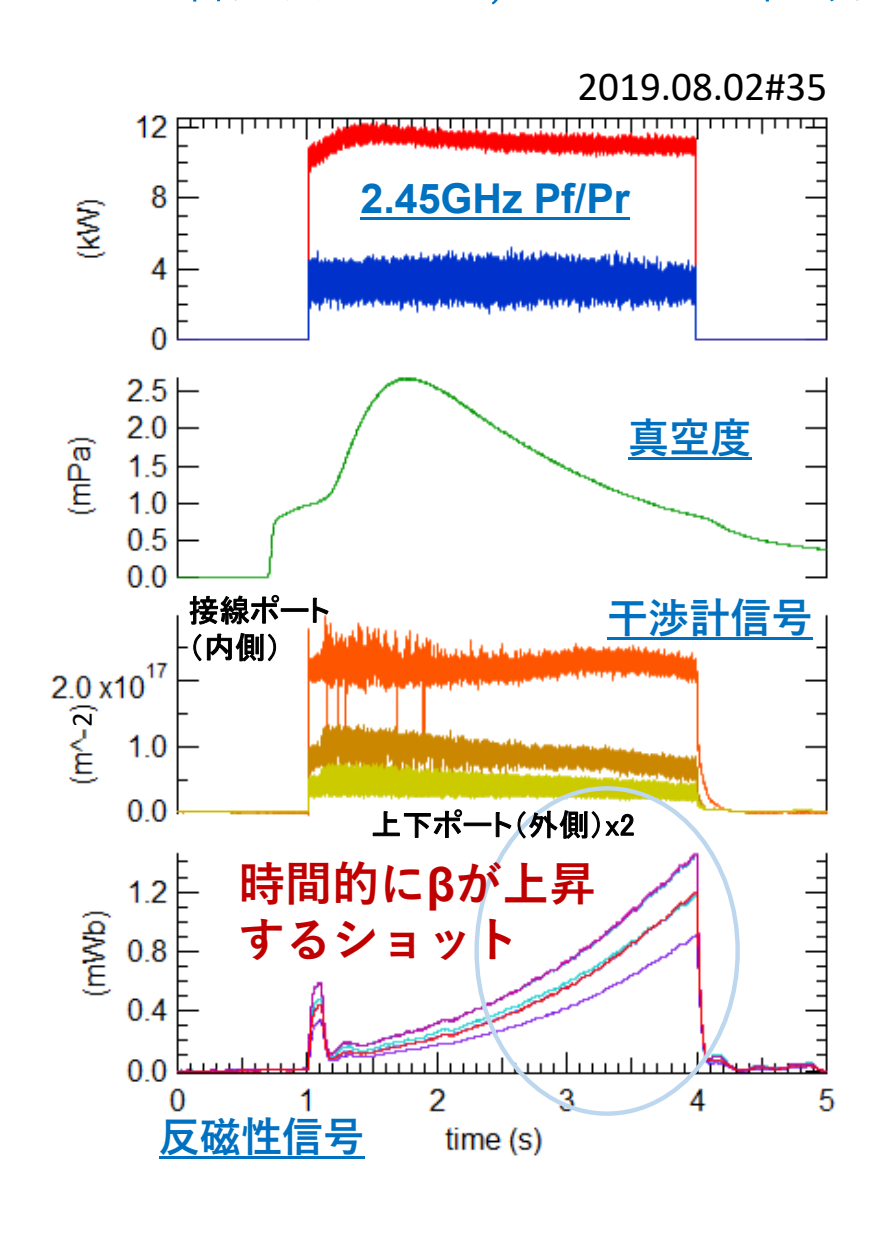
ホイッスラー成長の必要条件(線形)

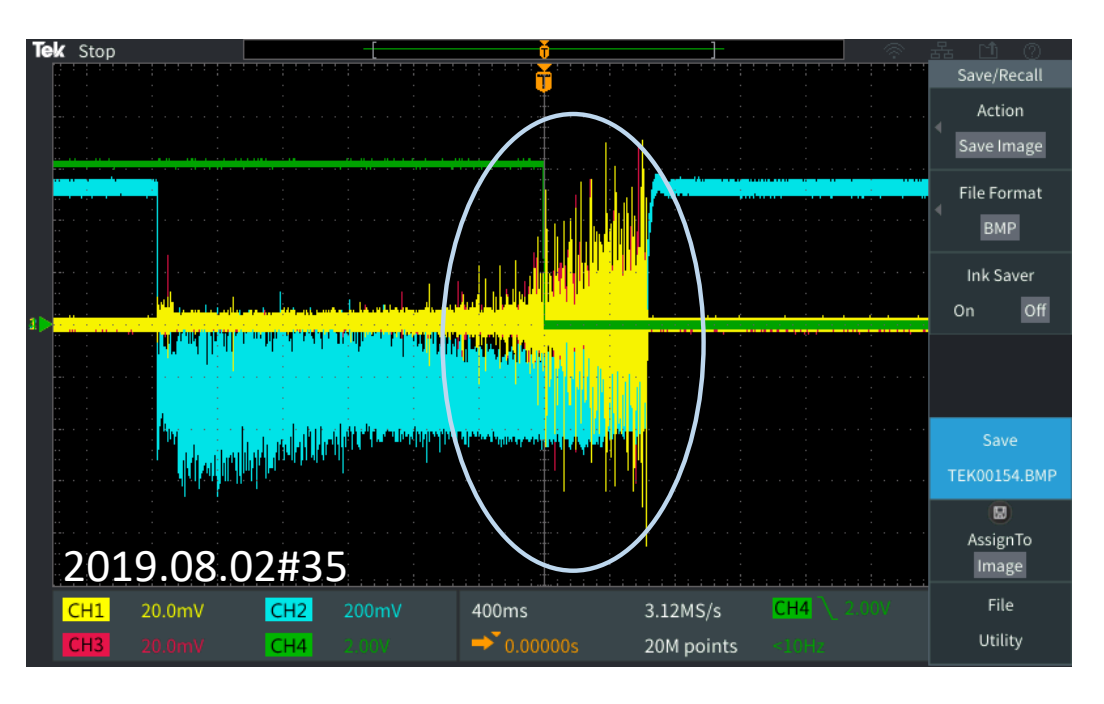
$$\frac{T_{\perp e}}{T_{\parallel e}} - 1 > \frac{1}{|\Omega_e|/\omega_r - 1}.$$



電子サイクロトロン周波数帯域の揺動の間欠的励起

ECHにより高温電子成分が顕著になりプラズマ圧力(反磁性信号)が増大すると、~MHz帯域の磁場揺動が観測される

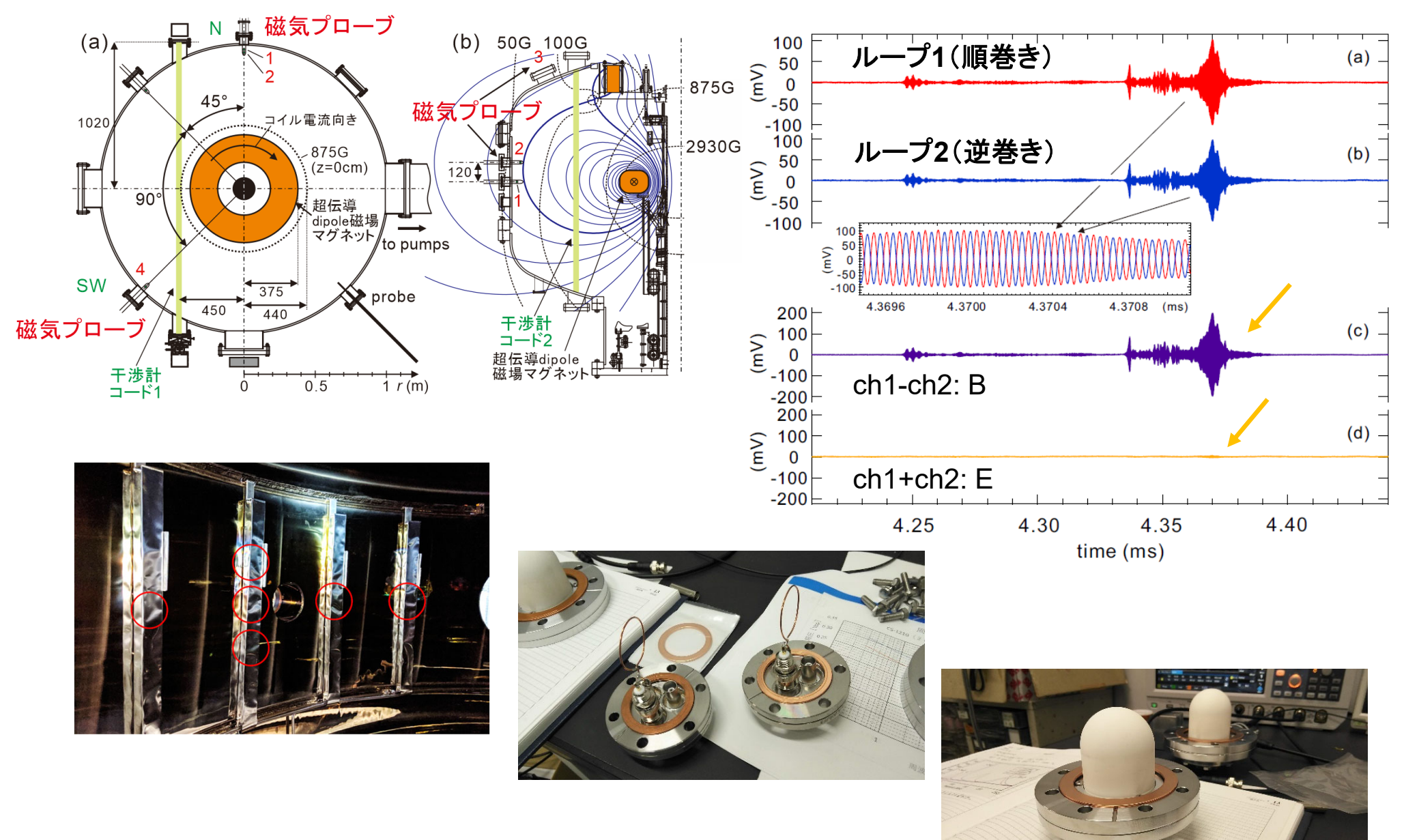




ch1: 磁気プローブ1, ch2: 干渉計, ch3: 磁気プローブ2

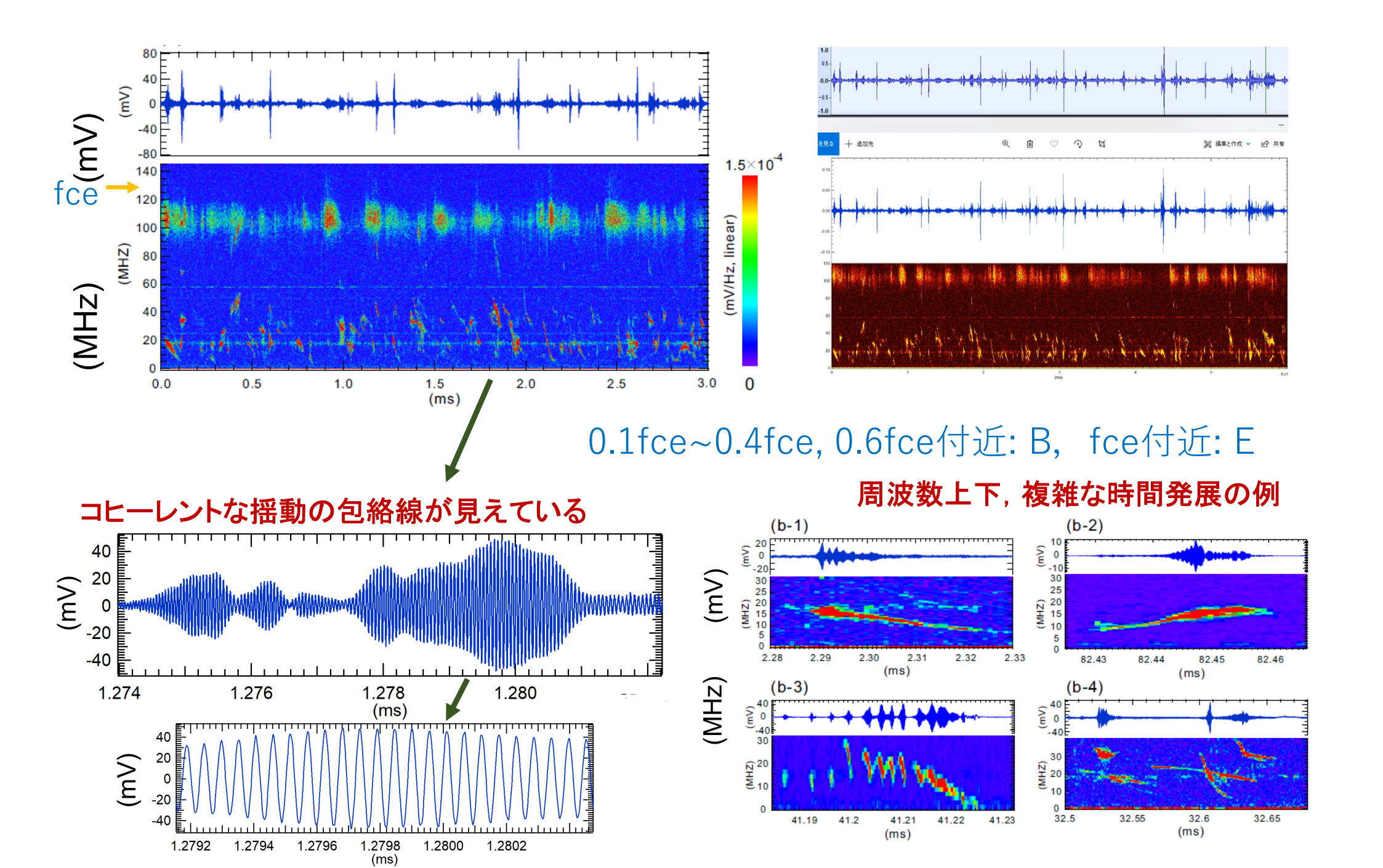
- 3秒間のマイクロ波入射で,時間的に中性粒子 密度が低下しプラズマ圧力が立ち上がるショット
- ・プラズマ圧力は、温度非等方性を持つ高温電子によって支えられている

電子サイクロトロン周波数帯域の電磁場揺動の間欠的励起



・コヒーレントな磁場揺動に加え, 弱い静電的成分も持つ

電子サイクロトロン周波数帯域の揺動の間欠的励起



位相空間の分布非等方性と波動の分散関係は、ホイッスラー の特徴として矛盾しない

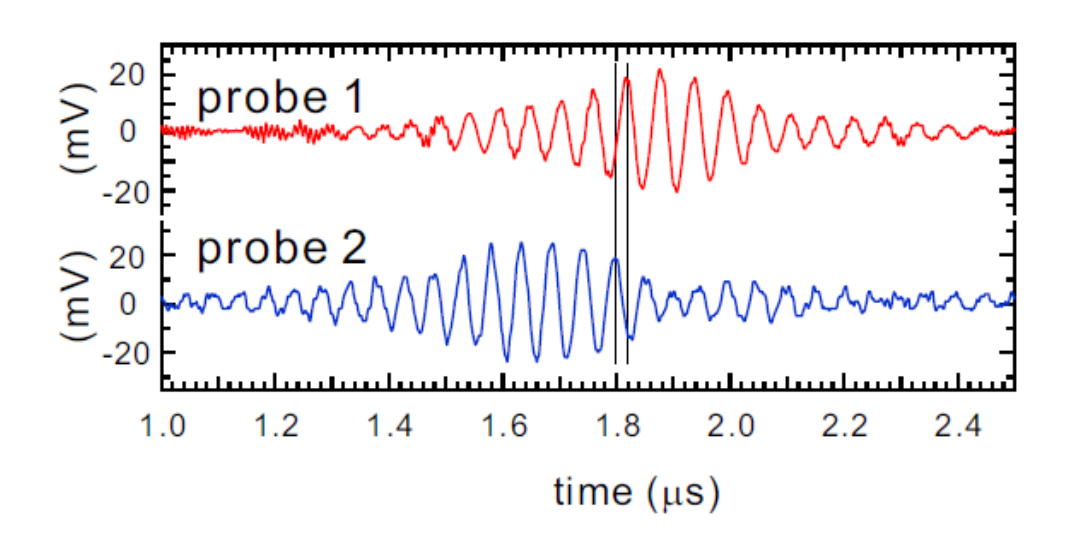
• 観測された揺動周波数の上限から予測される温度非等方性

$$f < f_{\text{ce}} A/(A+1)$$

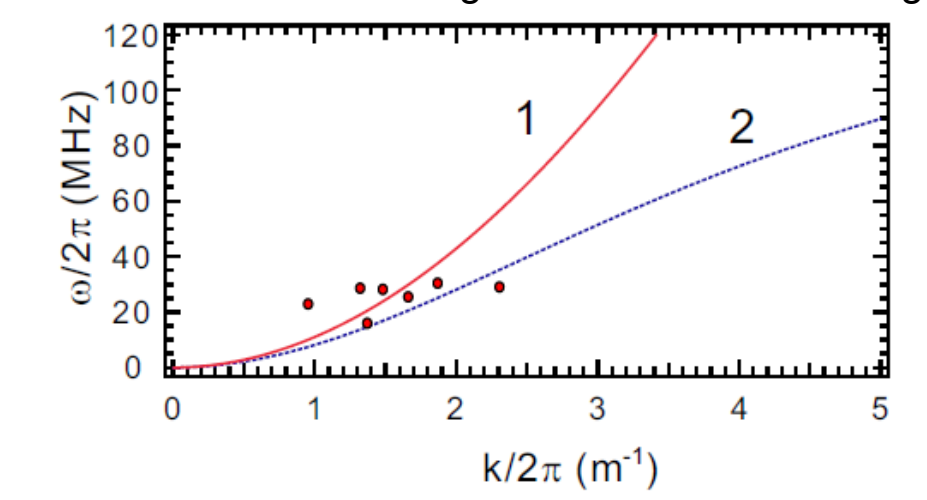
 $A = T_{\perp}/T_{\parallel} - 1 = 0.7$

- 線形安定性(1966 Kennel Petschek)から
- ・傾向 Tperp>Tpara は、ECHと内向き輸送の効果による位相空間分布と矛盾しない

分散関係(初期データ)

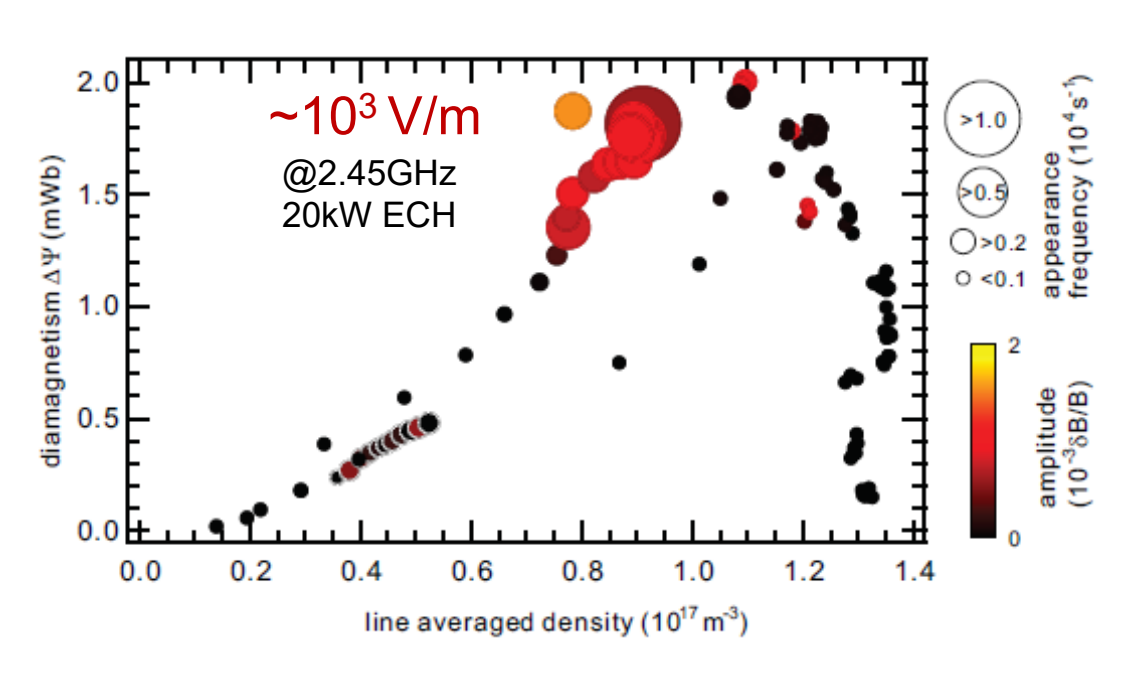


For parameters of 1. edge and 2. averaged over confinement region



- Envelopが伝搬するケースの場合、パラメータからの分散関係と矛盾しない
- ・揺動の発生場所がプローブ間の様々な位置であるものが混ざっている

R波による電子の効果的加熱と軌道のカオス化の可能性



電子軌道のポアンカレプロット(最初の100us)

$$H = \mu \omega_c + J\omega_b + \Psi \omega_d + N_c$$

1990 Murakami, Sato, Hasegawa, PoF; 2016 Saitoh+ PRE

●電子はR波により効果的に加熱され、その後、カオス

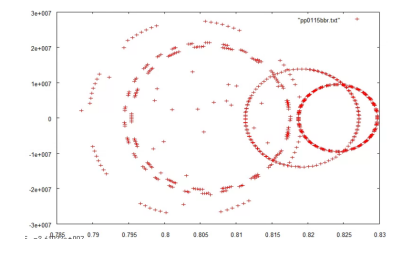
的挙動(エネルギーの交換, 軌道の不規則化)を示す.

軸対称なダイポール系で保存する断熱不変量は、 様々な原因(低周波揺動、非対称性、モード結合、 粒子加速)により非保存となる。 120 Etotal Epara Eperp

80 40 20 300 400 500 600 time (us)

2×10⁴ V/m(観測された揺動の10倍程度) のR波を印加した場合のテスト粒子計算

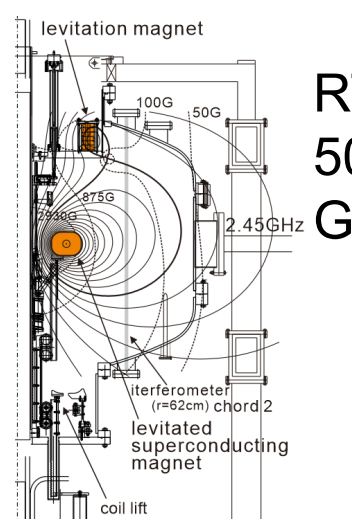
初期の10eV(周期的)から加速が進むにつれ準周期的を経てカオスになる. ミラートラップされない軌道が出現する.



・R波による効率的な加熱と 粒子損失の可能性

RT-1の粒子運動の時間スケールと、揺動の分類と関連

◆ 周期運動と対応する作用(断熱不変量)



RT1: 50-3000 2.45GHz Gauss

<~10kHz $\Phi = \int BdS \sim P_{\theta}$ トロイダル方向 ドリフト運動 magnetic flux

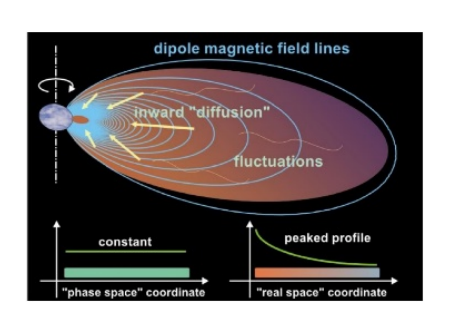
Trajectory of trapped particle Mirror point Electrons Magnetic field line

~ MHz action integral

磁力線に沿う バウンス運動 $J = \int v_{\parallel} ds$

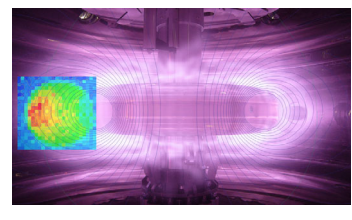
> 100MHz ~ 1GHz $\mu = v_{\perp}^2/B$

magnetic moment 磁力線周囲のgyro運動

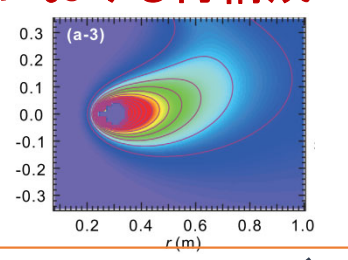


内向き輸送の 駆動•加熱

構造形成・位相空間における再構成



摇動



加速,

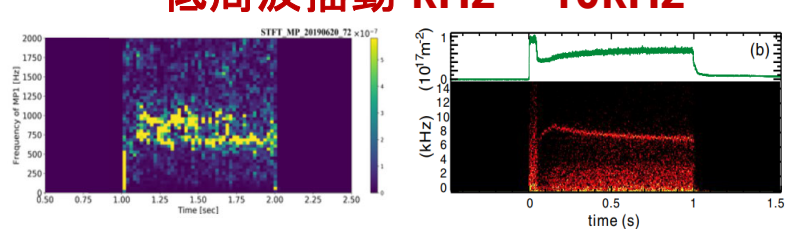
輸送

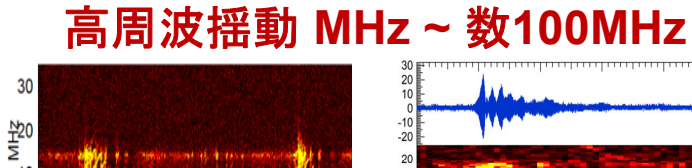
位相空間分布と 関わる揺動駆動

波動粒子 駆動 相互作用



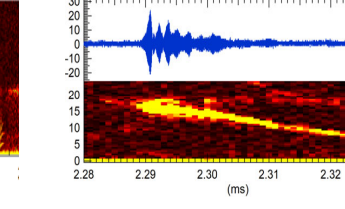
低周波摇動 kHz~10kHz





35.5

35.0



4. まとめと今後の課題

- 磁気浮上ダイポール(人工磁気圏)を活用した研究課題について報告した。
- 非中性(純電子)プラズマの安定閉じ込め(>300s)と、陽電子ビームの 高効率入射の実現を経て、電子・陽電子プラズマ計画を進めている.
- バッファガストラップと蓄積装置による大量の低速陽電子捕獲、電子との同時閉じ込めによる、磁場閉じ込めによるアプローチ。
- 位相空間分布の非等方性を持つ高温電子による高βプラズマ中で,
 f ~ 0.1-0.4f_{ce}, 0.6-0.8f_{ce}(共にチャープを示す), f_{ce}付近の間欠的な揺動発生.
- ▶ 多くの揺動モードはコヒーレントな磁場揺動であり,磁力線に沿い伝搬する.
- 周波数の時間的な変化(多くは周波数低下)が観測される場合が多く、 R波として矛盾しない分散関係を示す: ホイッスラーの自発励起
- 磁力線上の発生場所の特定,発生条件,加速の検出などが今後の課題.